

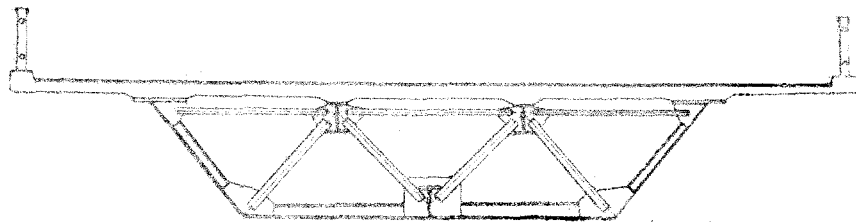
台形箱桁橋の床組の計算法について

小 西 保 則 *

上 原 基 也 **

まえがき

第1図に示すような台形断面をもつた箱桁橋は、巾員にくらべて支点相互間の距離がみじかくてすむため、下部工の巾がせまくてすむこと、また下フランジの巾がせまいため、不必要に



第 1 図

大きな下フランジ断面積となることがないから経済的であること、など一般の矩形の箱桁橋とくらべて設計上大きな利点がある。

この構造の特長は箱断面を構成する隔板のかわりに、トラスを用いて使用鋼材の軽減をはかり、床組の荷重はこのトラスを通じて主桁下フランジの横リブに伝えられることである。

この特長的な床組構造のため慣用的な従来の計算方法で床組の応力を計算することは適当でない。

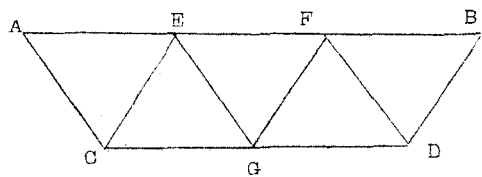
筆者らは、大阪市立大学小松助教授の御指導により、比較的簡単に台形箱桁のトラス式床組を解く方法を考案し、設計にも応用し得る段階に達したので、若干の計算例と共に、その理論と計算方法を紹介したいと思う。

1. 床組構造の仮定

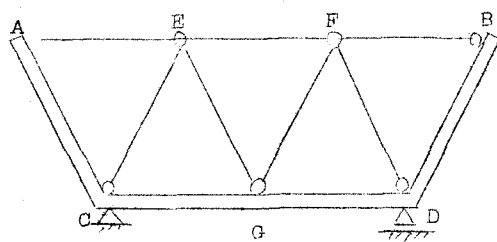
一般に台形箱桁の床組は、連続した縦桁と、これをささえする横トラスから成つていると考え

* 日本橋梁設計部

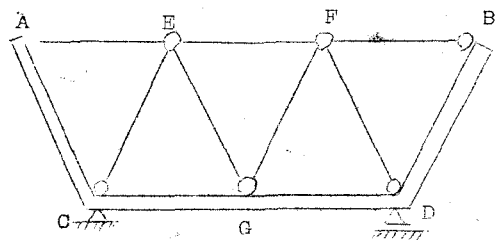
** //



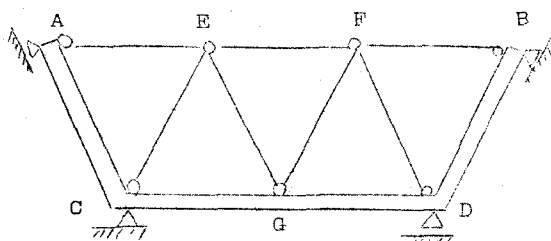
① トラスとして見る（横桁の応力が不明）



② 床組の横梁をラーメン構造と見る（最も安全）



③ 上フランジを弾性支点とみなす



④ 上フランジをピン支点とみなす

ることができる。

さて、橋梁の設計における一般的な仮定に従つて、床組は動かない主桁の上に乗つてゐるものとすると、第2図に示すように4つの構造が考えられる。

①は横桁がすべてトラス部材からなりたつてゐるものという考え方である。最も構造として単純であるが、これでは部材 \overline{AC} , \overline{CD} , \overline{DB} に作用する曲げモーメントがまったく考えられないことになる。また、載荷位置によつては、部材 \overline{AE} , \overline{FB} にはしばしば無応力の場合がでてくるが、横桁としてトラス部材のどれもが当然なんらかの応力を生じているはずであるから、実際構造と、この仮定構造とはすこしかけはなれてゐるといふべきであろう。

②は部材 \overline{AC} , \overline{CD} , \overline{DB} を曲げモーメントをうけるラーメン構造とみなした場合である。上フランジは自由で、横トラスの変形をさまたげないものとする。この仮定によれば、横トラス各部材の応力がはつきり生じてくるだけでなく、仮定としての条件も比較的単純で計算上の取り扱いも楽である。また、実際構造にくらべてこし自由度が多いので、各部分の応力としては安全側に計算されることになる。本論文に述べる計算法は、②の仮定によつたものである。

③は、床版を上フランジとする合成台形箱桁として、もつとも厳密な仮定と思われるが、A点およびB点の弾性固定度をきめることは必ずしも簡単なことではない。

④は床板による固定度を無限に大きいと考えて、上フランジの移動をとめた構造である。この支点反力はジベルをわたつて、床版に作用するものと考える。ジベルの設計にはこの方法によつて計算された反力を用いるとよいと思われる。

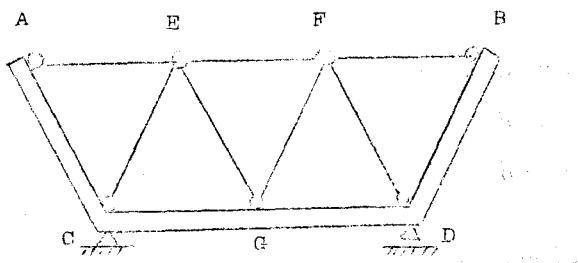
以下、②の仮定にしたがつて台形箱桁の床組の計算法を述べよう。

2. 計算の方針

まず、床組のうち、横方向のトラスを第3図のような構造と考えて解く。これは外的には静

定であり、内的には三次の不静定構造である。これによつて横トラスの各格点のたわみを横桁に作用する力の関数としてあらわすことができる。

次に、縦方向には、縦桁が横トラスによつて弾性支持された連続梁であると考えて解く。第4図



第 3 図

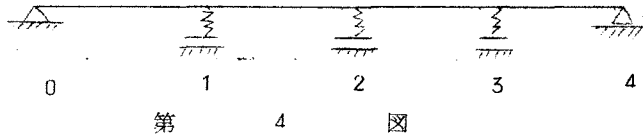
縦桁の各支点のたわみ

は横トラスのたわみによ

つておこるものであるか

ら、前にのべた横トラス

の解と、縦桁の解とはひ



第 4 図

としくなければならない。このことを条件にいれて弾性方程式をつくつて解けばよいわけである。なお、本計算法では未知数として、縦桁と横トラスの格点に作用している不静定力と縦桁の支点曲げモーメントをとることにした。これは、最後の連立方程式の解そのものが、ズバリ曲げモーメントの大きさをあらわすことになつて、便利である。このため未知数は格子桁の解法などの場合にくらべて2倍となるが、電子計算機に依つて連立方程式を解けば、未知数の量はあまり問題にならない。本論文にかかげた計算例は未知数は18ヶであつたが、18元連立方程式は半日で解くことができた。

3. 横トラスのたわみの解

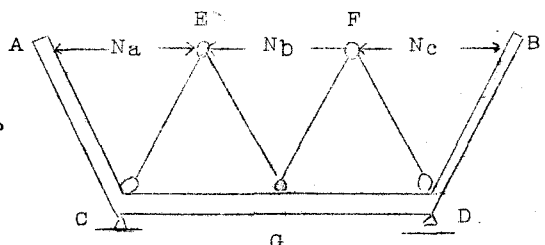
第5図のような静定基本系を考える。

荷重 P_m に対し、仮想仕事式

を作ると、 $\delta_a, \delta_b, \delta_c$ をそれ

ぞれ N_a, N_b, N_c による $A E$

$E F, F B$ の相対変位とするとき。



第 5 図

$$1 \times \delta_a = \sum P_m \delta_{ma} - N_a \delta_{aa} - N_b \delta_{ab} - N_c \delta_{ac}$$

$$1 \times \delta_b = \sum P_m \delta_{mb} - N_a \delta_{ba} - N_b \delta_{bb} - N_c \delta_{bc}$$

$$1 \times \delta_c = \sum P_m \delta_{mc} - N_a \delta_{ca} - N_b \delta_{cb} - N_c \delta_{cc}$$

しかるに、上記基本系は釣合状態にあつて、何等の外的仕事もないから、左辺は0。また $P_m = 1$ とすると

$$\left. \begin{aligned} \delta_{ma} - N_a \delta_{aa} - N_b \delta_{ab} - N_c \delta_{ac} &= 0 \\ \delta_{mb} - N_a \delta_{ba} - N_b \delta_{bb} - N_c \delta_{bc} &= 0 \\ \delta_{mc} - N_a \delta_{ca} - N_b \delta_{cb} - N_c \delta_{cc} &= 0 \end{aligned} \right\} \quad (3-1)$$

ここに

δ_{ma} : $N_a = -1$ による P_m の作用点の変位

δ_{aa} : $N_a = -1$ による N_a の作用点の変位

δ_{ba} : $N_a = -1$ による N_b の作用点の変位

各係数を更にくわしく書けば下のようである。

$$\left. \begin{aligned} \delta_{ma} &= \int M_0 \overline{M}_a \frac{ds}{EI} + \int N_0 \overline{N}_a \frac{ds}{EA} + \int Q_0 \overline{Q}_a \frac{ds}{GA} \\ \delta_{aa} &= \int \overline{M}_a^2 \frac{ds}{EI} + \int \overline{N}_a^2 \frac{ds}{EA} + \int \overline{S}_a^2 \frac{ds}{GA} \\ \delta_{ba} &= \int \overline{M}_a \overline{M}_b \frac{ds}{EI} + \int \overline{N}_a \overline{N}_b \frac{ds}{EA} + \int \overline{S}_a \overline{S}_b \frac{ds}{GA} \end{aligned} \right\} \quad (3-2)$$

ここに

M_0, N_0, S_0 : 基本系に $P_m = 1$ が作用したときの各部材の曲げモーメント、軸力
およびせん断力

$\overline{M}_a, \overline{N}_a, \overline{S}_a$: 基本系に $N_a = -1$ が作用したときの各部材の曲げモーメント、軸
力およびせん断力

筆者らの計算によれば (3-2) 式で、軸力およびせん断力の項は曲げモーメントの項の 30
分の 1 以下であつて、以下の計算結果に及ぼす影響はすぐないようであつた。計算の単純化、
じん速化の上からは本計算は第 1 項のみで充分である。

(3-1) 式を解いて N_a, N_b, N_c を得る。

次に、不静定力 N_a, N_b, N_c をつかつて、横トラスの各格点のたわみを求める。

たわみをそれぞれ $\delta_{AE}, \delta_{AF}, \delta_{AG} \dots \dots$ とするときの仮想仕事式は次の通りである。

$$\left. \begin{aligned} 1 \times \delta_{AE} &= \int M_E \overline{M}_A \frac{ds}{EI} + \int N_E \overline{N}_A \frac{ds}{EA} + \int S_E \overline{S}_A \frac{ds}{GA} \\ 1 \times \delta_{AF} &= \int M_F \overline{M}_A \frac{ds}{EI} + \int N_F \overline{N}_A \frac{ds}{EA} + \int S_F \overline{S}_A \frac{ds}{GA} \\ 1 \times \delta_{AG} &= \int M_G \overline{M}_A \frac{ds}{EI} + \int N_G \overline{N}_A \frac{ds}{EA} + \int S_G \overline{S}_A \frac{ds}{GA} \end{aligned} \right\} \quad (3-3)$$

ここに

M_E, N_E, S_E : $P_m = 1$ が E 点に作用したときの各部材の曲げモーメント、軸力およ

びせん断力

$\overline{M}_A, \overline{N}_A, \overline{Q}_A$: 仮想荷重 $\bar{P}=1$ が A 点に作用したときの各部材の曲げモーメント、軸力および
びせん断力

この結果から、各点の荷重を $\overline{X_E}, \overline{X_F}, \overline{X_G}$ とすると、各格点のたわみは次のようにあらわされる。

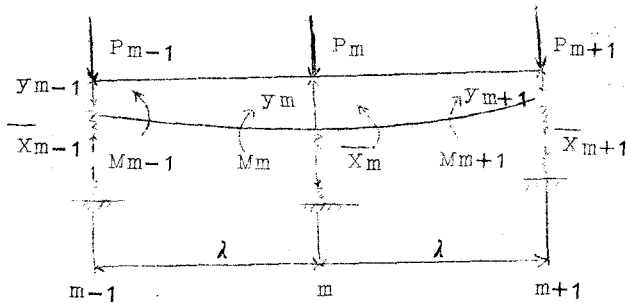
$$\left. \begin{aligned} y_A &= \delta_{AA} P_A + \delta_{AB} P_B + \delta_{AE} \overline{X_E} + \delta_{AF} \overline{X_F} + \delta_{AG} \overline{X_G} \\ y_B &= \delta_{BA} P_A + \delta_{BB} P_B + \delta_{BE} \overline{X_E} + \delta_{BF} \overline{X_F} + \delta_{BG} \overline{X_G} \\ y_E &= \delta_{EA} P_A + \delta_{EB} P_B + \delta_{EE} \overline{X_E} + \delta_{EF} \overline{X_F} + \delta_{EG} \overline{X_G} \\ y_F &= \delta_{FA} P_A + \delta_{FB} P_B + \delta_{FE} \overline{X_E} + \delta_{FF} \overline{X_F} + \delta_{FG} \overline{X_G} \\ y_G &= \delta_{GA} P_A + \delta_{GB} P_B + \delta_{GE} \overline{X_E} + \delta_{GF} \overline{X_F} + \delta_{GG} \overline{X_G} \end{aligned} \right\} \quad (3-4)$$

ここに、 P_A, P_B は主桁フランジ上に荷重された場合でこれは不静定量とはならない。
なお、(3-3) 式では軸力の項は相当影響するから省略しない方がよい。

4. 縦桁の連続梁としての解

縦桁はおのおの弾性支承上の連続梁として、支点が沈下する場合の三連モーメントの式をたてる。

第6図を参照して



第 6 図

$$M_{m-1} + 4M_m + M_{m+1} + 6EI \left(\frac{y_{m-1}}{\lambda^2} - 2 \frac{y_m}{\lambda^2} + \frac{y_{m+1}}{\lambda^2} \right) = 0$$

$$\therefore M_{m-1} + 4M_m + M_{m+1} + \frac{6EI}{\lambda^2} y_{m-1} - \frac{3EI}{\lambda^2} y_m + \frac{6EI}{\lambda^2} y_{m+1} = 0 \quad (4-1)$$

次に荷重と曲げモーメントの釣合条件から

$$\frac{M_{m-1}}{\lambda} - \frac{2}{\lambda} M_m + \frac{M_{m+1}}{\lambda} = -X_m$$

また $X_m = P_m - \bar{X}_m$

$$\therefore \frac{M_{m-1}}{\lambda} - \frac{2M_m}{\lambda} + \frac{M_{m+1}}{\lambda} - \bar{X}_m = -P \quad (4-2)$$

(4-1) および (4-2) 式が各縦格の各格点について成立する。

5. 床組としての解

最後に、3と4で求めた結果をたわみがひときいという条件で連立方程式にして解く。

第7図の場合は縦格の格点曲げモーメントが9ヶ、不静定反力が9ヶ、合計18ヶの未知数をもつことになる。

ここで、(3-4)式を(4-1式)に代入する。Mと \bar{X} を未知数とするこの式を(5-1式)としよう。

(5-1式)と(4-2)式を連立にして解けばよい。式は本計算例の場合18元連立方程式である。

6. 数値計算例

第8図のような断面をもつ床組を解いてみる。

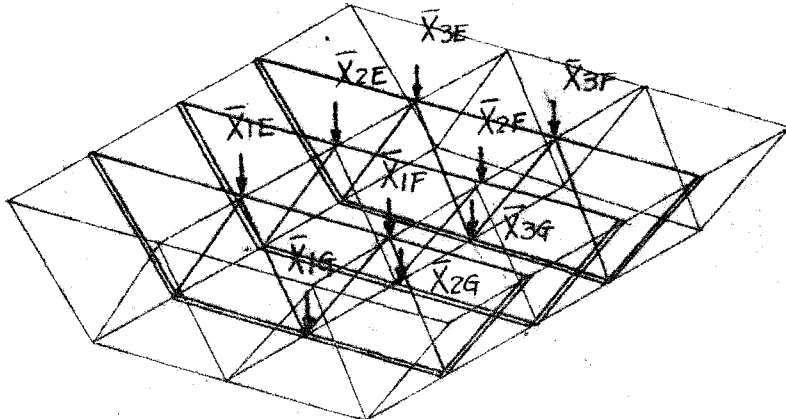
(3-1)式によつて N_a, N_b, N_c を求めるとなつた。

	N_a	N_b	N_c
$P=1 \text{ at A}$	0.722	0.339	0.008
$P=1 \text{ at E}$	-0.017	-0.457	-0.008
$P=1 \text{ at G}$	-0.020	-0.839	-0.020

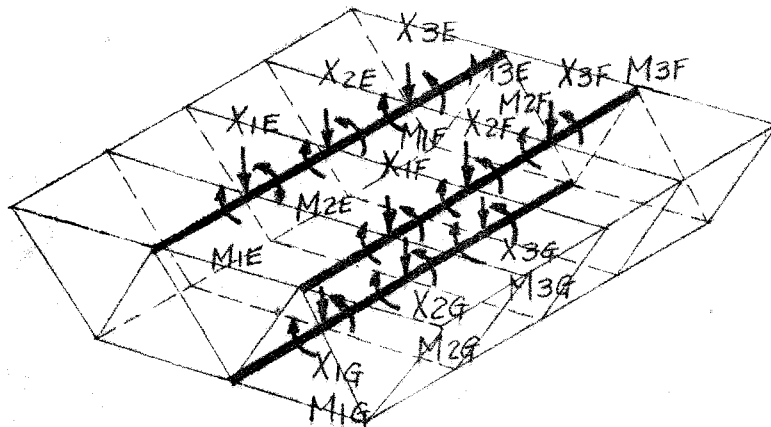
したがつて、おのののの場合について曲げモーメントと軸力を計算すると第9図のようになる。

この数値をつかつて(3-3)式から各点のたわみが容易に求められる。この場合、せん断力の影響は省略した。

たわみの計算結果は次のようになつた。

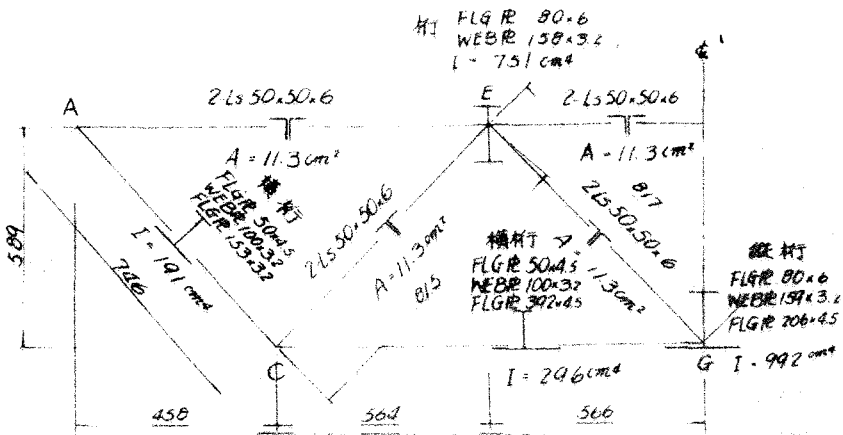


横トラスに対する支承定力

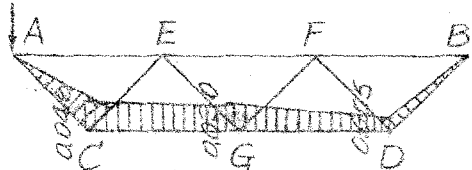


縦桁に対する支承定力

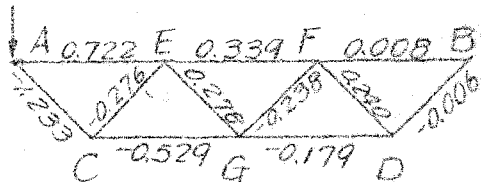
第 7 図



$P=1$ at A

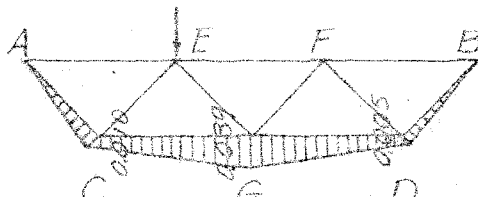


曲げモーメント

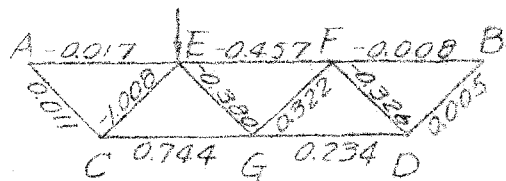


軸力

$P=1$ at E

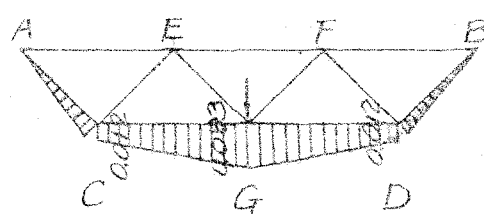


曲げモーメント

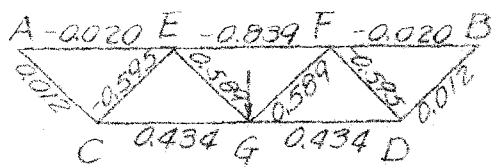


軸力

$P=1$ at G



曲げモーメント



軸力

第 9 図

$$\left. \begin{aligned} y_A &= -4.0803 \quad \bar{x}_E = 4.0562 \quad \bar{x}_F = 4.8082 \quad \bar{x}_G \\ y_B &= -4.0562 \quad \bar{x}_E = 4.0803 \quad \bar{x}_F = 4.8082 \quad \bar{x}_G \\ y_E &= 8.3394 \quad \bar{x}_E + 5.1061 \quad \bar{x}_F + 8.1878 \quad \bar{x}_G \\ y_F &= 5.1061 \quad \bar{x}_E + 8.3383 \quad \bar{x}_F + 8.1878 \quad \bar{x}_G \\ y_G &= 8.1878 \quad \bar{x}_E + 8.1878 \quad \bar{x}_F + 15.3563 \quad \bar{x}_G \end{aligned} \right\} \quad (6-1)$$

(5-1) 式は機械的に計算できる。 (4-2) 式も簡単に求めることができる。

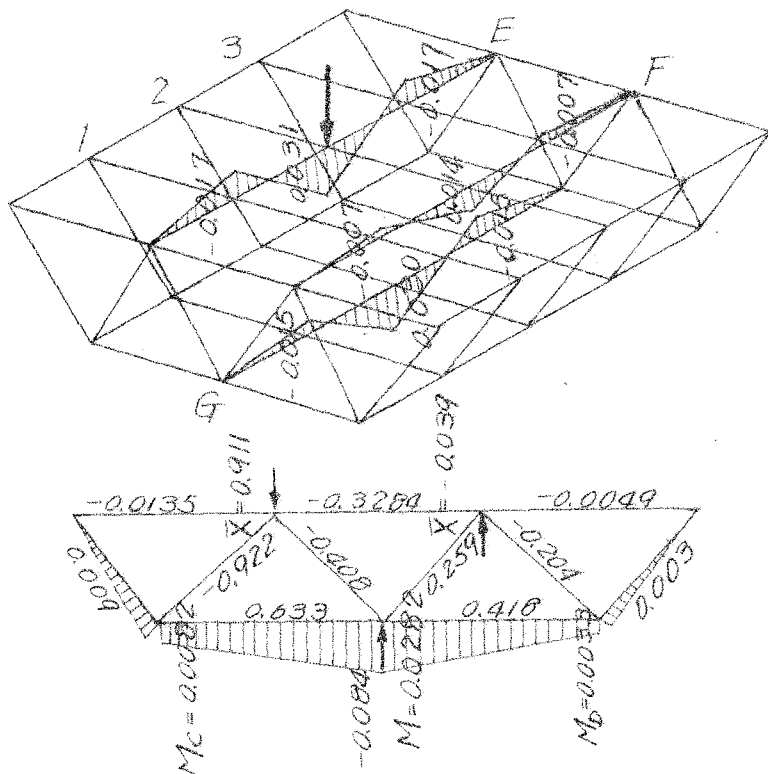
	1	2	3	4	5	6	7	8	9
	M _{1E}	M _{2E}	M _{3E}	M _{1F}	M _{2F}	M _{3F}	M _{1G}	M _{2G}	M _{3G}
1	4	1	0	0	0	0	0	0	0
2	1	4	1	0	0	0	0	0	0
3	0	1	4	0	0	0	0	0	0
4	0	0	0	4	1	0	0	0	0
5	0	0	0	1	4	1	0	0	0
6	0	0	0	0	1	4	0	0	0
7	0	0	0	0	0	0	4	1	0
8	0	0	0	0	0	0	1	4	1
9	0	0	0	0	0	0	0	1	4
10	-1.8467	0.9234	0	0	0	0	0	0	0
11	0.9234	-1.8467	0.9234	0	0	0	0	0	0
12	0	0.9234	-1.8467	0	0	0	0	0	0
13	0	0	0	-1.8467	0.9234	0	0	0	0
14	0	0	0	0.9234	-1.8467	0.9234	0	0	0
15	0	0	0	0	0.9234	-1.8467	0	0	0
16	0	0	0	0	0	0	-1.8467	0.9234	0
17	0	0	0	0	0	0	0.9234	-1.8467	0.9234
18	0	0	0	0	0	0	0	0.9234	-1.8467

表

10	11	12	13	14	15	16	17	18	
X_{1E}	X_{2E}	X_{3E}	X_{1F}	X_{2F}	X_{3F}	X_{1G}	X_{2G}	X_{3G}	荷重項
-0.1345	0.0673	0	-0.0824	0.0412	0	0.1321	0.0661	0	0
0.0673	-0.1345	0.0673	0.0412	-0.0824	0.0412	0.0661	0.1322	0.0661	0
0	0.0673	-0.1345	0	0.0412	-0.0824	0	0.0661	-0.1321	0
-0.0824	0.0412	0	-0.1345	0.0673	0	-0.1321	0.0661	0	0
0.0412	-0.0824	0.0412	0.0673	-0.1345	0.0673	0.0661	-0.1321	0.0661	0
0	0.0412	-0.0824	0	0.0673	-0.1345	0	0.0661	-0.1322	0
-0.1746	0.0873	0	-0.1746	0.0873	0	-0.3273	0.1636	0	0
0.0873	-0.1746	0.0873	0.0873	0.1746	0.0873	0.1636	-0.3273	0.1636	0
0	0.0873	-0.1746	0	0.0873	-0.1746	0	0.1636	-0.3273	0
-1	0	0	0	0	0	0	0	0	0
0	-1	0	0	0	0	0	0	0	-1
0	0	-1	0	0	0	0	0	0	0
0	0	0	-1	0	0	0	0	0	0
0	0	0	0	-1	0	0	0	0	0
0	0	0	0	0	-1	0	0	0	0
0	0	0	0	0	0	-1	0	0	0
0	0	0	0	0	0	0	-1	0	0
0	0	0	0	0	0	0	0	-1	0

第 2 表

$M_1 E = -0.0169$	$\bar{X}_1 E = +0.0600$
$M_2 E = +0.0311$	$\bar{X}_2 E = +0.9111$
$M_3 E = -0.0169$	$\bar{X}_3 E = +0.0660$
$M_1 F = -0.0069$	$\bar{X}_1 F = +0.0260$
$M_2 F = +0.0142$	$\bar{X}_2 F = -0.0391$
$M_3 F = -0.0069$	$\bar{X}_3 F = +0.0260$
$M_1 G = -0.0149$	$\bar{X}_1 G = +0.0556$
$M_2 G = +0.0304$	$\bar{X}_2 G = -0.0886$
$M_3 G = -0.0149$	$\bar{X}_3 G = +0.0556$



② 列 橫 ト ラ ス

第 10 図

これらの係数をまとめると第1表を得る。いま、荷重 $P=1$ が第7図の2E点に作用したとして、第1表の未知数を求めるとき、第2表のようになつた。

これを図にかくと第10図のようになる。荷重の分配状況、綫桁の曲げモーメントのおこりぐあいが、よくわかるのである。

7. お す び

計算例はある特殊なもの一つを解いてみたにすぎないが、このほか、いろいろな場合について、現在計算しているところである。

また、模型実験によつて計算値の精度をたしかめるよう計画中であるが、その比較結果は後日機会を得て発表したい。

本文の執筆にあたり、指導と激励を賜わつた大阪市大小松助教授に深く感謝申し上げる次第である。

参 考 文 献

1. 台形箱桁の実例

O.Berr und A.Kramer: Die Wupper-Talrücke bei Wuppertal-Oehde, Der Stahlbau, 29 Jahrgang Heft 6 S.161-173, Juni 1960

2. 鋼板の有効巾の計算

計算例における下フランジおよび腹板の横桁としての有効巾は下記の示方書案に依つた。

溶接鋼道路橋設計示方書改訂案第6節鋼床板

